论 著

宫颈癌同步放化疗 患者应用超声功能 成像评估疗效的价 值探析

- 1.河南科技大学第一附属医院产科 (河南 洛阳 471000)
- 2.河南科技大学第一附属医院CT室 (河南 洛阳 471000)

张 攀¹ 王 健² 王灵芝¹ 李 静¹

【摘要】目的 探究宫颈癌同步放化疗 患者应用超声功能成像评估疗效的价 值。方法 选取2017年1月-2018年3月我 院收治的宫颈癌患者41例,患者均行同 步放化疗,采用超声功能成像技术检测 治疗前、治疗后1w、2w、治疗结束后功 能成像图片及弹性应变比值, 分析其与 同步放化疗疗效的关系。 结果 经同步 放化疗后, 完全缓解者26例(63.41%), 部分缓解者15例(36.59%);治疗后宫颈 形态明显恢复, 病灶减小或消失, 宫颈 线连续可见;治疗前CR组肿瘤最大长径 为(38.64±7.57)mm,治疗后病灶完全消 失, PR组为(42.07±8.39)mm, 治疗后为 (23.94±6.31) mm, 明显低于治疗前(P < 0.01);治疗后CR组弹性成像图像呈整 体绿色、PR组可见病灶中央以绿色为主、 部分可见局灶性蓝色区域; 随着治疗过 程推进, 病灶弹性应变比值均呈下降趋 势, CR组治疗后1w弹性应变比值开始明显 下降, 较治疗前显著降低(P<0.05), PR 组治疗后2w弹性应变比值出现显著下降趋 势,与治疗前比较明显降低(P<0.05); 治疗后1w、2w、治疗结束CR组弹性应变比 值均低于PR组(P<0.05)。 结论 超声功能 成像可通过早期持续监测弹性应变比值来 反映宫颈癌同步放化疗效果, 对宫颈癌疗 效评估具早期预测价值。

【关键词】宫颈癌; 同步放化疗; 三维超声; 功能成像

【中图分类号】R73; R81

【文献标识码】A

DOI: 10.3969/j.issn.1672-5131.2019.02.020

通讯作者:张攀

Value of Ultrasound Functional Imaging in Evaluation of the Curative Effect in Patients with Cervical Cancer During Concurrent Chemoradiotherapy

ZHANG Pan, WANG Jian, WANG Ling-zhi, et al., Department of Obstetrics, the First Affiliated Hospital of Henan University of Science and Technology, Luoyang 471000, Henan Province, China

[Abstract] Objective To investigate the value of ultrasound functional imaging in evaluation of the curative effect in patients with cervical cancer undergoing concurrent chemoradiotherapy. *Methods* A total of 41 patients with cervical cancer who admitted to the hospital from January 2017 to February 2018 were enrolled into the study. All patients were treated with concurrent chemoradiotherapy. Ultrasound functional imagingand the elastic strain ratio was used to detect the lesions before treatment, 1 week and 2 weeks after treatment and at the end of treatment. The curative effect of concurrent chemoradiotherapy was analyzed. **Results** A total of 26 patients (63.41%) had complete remission (CR) and 15 patients (36.59%) had partial remission (PR) after concurrent chemoradiotherapy. The cervical morphology recovered significantly, the lesions decreased or disappeared, and the cervical line was continuous and visible after treatment. The maximum long diameter in CR group before treatment was (38.64 ± 7.57) mm and lesions disappeared completely after treatment. The maximum long diameter in PR group was significantly decreased after treatment [(42.07 ± 8.39) mm vs (23.94 ± 6.31) mm] (P<0.01). The elastic imaging results of CR group were green overall after treatment and in PR group, the central part of the lesion was mainly green, with some focal blue areas. As the treatment progressed, the elastic strain ratio of lesions showed a downward trend. The elastic strain ratio in CR group decreased significantly 1 week after treatment (P<0.05), while the elastic strain ratio in PR group decreased significantly at 2 weeks after treatment (P<0.05). The elastic strain ratios of CR group were lower than those of PR group at 1 week and 2 weeks after treatment and at the end of treatment (P<0.05). Conclusion Ultrasound functional imaging can accurately reflect the effects of concurrent chemoradiotherapy on cervical cancer by early continuous monitoring of elastic strain ratio, and it is of predictive value for evaluating the curative effect on cervical cancer.

[Key words] Cervical Cancer; Concurrent Chemoradiotherapy; Three-dimensional Ultrasound; Functional Imaging

宫颈癌是导致女性死亡的常见恶性肿瘤之一,主要致病因素是乳头瘤病毒的持续感染,随着我国细胞学筛查工作的广泛开展,宫颈癌死亡率得到有效控制,但我国宫颈癌患者占全球总患病人口1/3,发病率仍在逐年增长,且发病群体呈年轻化趋势,给我国女性健康带来了严重威胁^[1-2]。宫颈癌常规治疗方案包括手术、放疗及化疗,手术方案主要适用于早期宫颈癌,对IIb~IVa期失去手术指征的患者,目前临床首选同步放化疗。实施同步放化疗治疗过程中需进行放化疗敏感性评估并及时调整放疗照射野及化疗方案,妇科检查是最常用的评估手段之一,但妇检具主观性,对肿瘤性质、坏死残留及深部肿瘤的判断有一定局限性,因此难以成为精准依据指导放化疗方案的调整工作^[3]。超声弹性功能成像是一种新兴超声技术,可在组织学基础上根据受压感兴趣部位(R0I)的变形位移表示组织硬度变化,由于良恶性肿瘤及正常组织之间硬度差异明显,采用超声弹性功能成像可准确用于良恶性病灶的鉴别诊断^[4]。本研究采用超声功能成像技术观察宫颈癌

同步化放化疗患者治疗过程的疗 效评估,现报告如下。

1 资料与方法

- 1.1 一般资料 前瞻性纳入 2017年1月-2018年3月来我院就诊的宫颈癌患者41例,选取患者均符合国际妇产科协会(FIGO)制定的宫颈癌诊断及分期标准,且均经病理学检查证实,年龄35~63岁,平均年龄(46.37±10.31),病程2个月~8个月,平均病程(3.2±1.1)个月,肿瘤病理类型均为鳞癌,其中IIb期患者25例,IIIa期12例,IIIb期4例,排除此前采用放化疗治疗者。
- 1.2 治疗方法 患者均予以 同步放化疗方案治疗,采用盆腔体外照射放疗(EBRT),每次剂量为1.8~2.0Gy,每日1次,每周5次,肿瘤放疗总剂量50Gy,外照射量达50Gy后进行腔内后装照射,体外照射结束后3周,每周1次,每次剂量6.0Gy,共进行6次;A点每次剂量为6Gy,共进行6次,放疗总剂量为36Gy;放疗间隙予以同步化疗,奈达铂40~60mg/m²,d1,紫杉醇80mg/m²,d1,以两周为一个周期,共进行3~4个周期,同步放化疗时间不超过8周。
- 1.3 检查方法 采用配备三维腔内凸阵探头的飞利浦EPIQ7分别在治疗前、治疗后1w、治疗后2w、治疗结束后进行超声功能成像检查,设置频率5~9MHz,检查前嘱患者排空膀胱,取截石位,探头表面涂上耦合剂并套上保险套后经阴道置入阴道穹隆处检查,观察肿瘤大小、位置、形态、内部回声及边界等情况,通过扫描病灶中央区域,取肿块最大切面长径。然后启动弹性成像模式,采用双幅实时模式显示二

维灰阶图及弹性图,控制探头轻柔不施加压力并固定于ROI范围后作匀速"加压-减压"运动,选取肿块增强明显处为ROI,避免血管丰富及坏死区域,使ROI肿块在应力作用下移位并记录弹性值,同时测量宫旁正常组织弹性值,正常组织与肿块弹性比值定为应变比值,同部位重复测量三次取平均值,所有患者检查均由1位妇产超声经验丰富医生进行。

1.4 疗效评估标准 治疗 结束1周后采用附件、超声及 MRI检查综合评估同步放化疗治 疗效果,以实体瘤疗效评价标 准(RECIST)为依据,完全缓解 (CR): 病灶完全消失; 部分缓解 (PR): 病灶长径减小达30%; 病情 稳定(SD): 病灶长径缩小低于30% 或增加低于20%; 恶化: 病灶长径 增加达20%。同步放化疗后CR及PR 评为治疗有效。超声功能成像采 用改良5分法进行病灶鉴别,绿色 表示组织平均硬度, 蓝色表示组 织硬度较硬, 红色表示组织较平 均硬度,根据肿块性质及图像颜 色分为5个级别,0分:图像肿块 及周围组织呈均质绿色: 1分: 图 像示病灶及周围组织绿色面积超 过90%; 2分: 图像示病灶区域呈 蓝色、绿色, 混杂不清, 且蓝色 面积为50%~90%; 3分: 图像示 病灶中蓝色面积超过90%; 4分: 病灶均呈蓝色。0~2分为良性病 灶,3~4分为恶性病灶。弹性应 变比值≥3.08诊断为恶性肿瘤。

1.5 统计学方法 采用 SPSS20.0统计学软件进行数据分

析,计数资料用频数及百分率表示,组间比较采用 x^2 检验,计量资料用 $(\bar{x} \pm s)$ 表示,组间比较采用独立样本t检验,P<0.05表示差异有统计学意义。

2 结 果

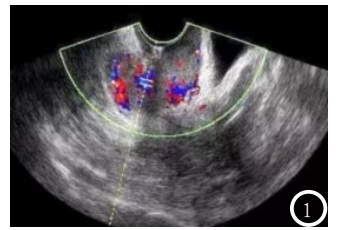
- 2.1 同步放化疗结局 本研究选取的41例宫颈癌患者经同步放化疗后,完全缓解者26例(63.41%),部分缓解者15例(36.59%),无病情稳定者及恶化者。
- 2.2 常规腔内超声评价疗 以同步放化疗后疗效的不同 将患者分别分为CR组(n=26)与PR 组(n=15),治疗前两组患者行常 规腔内超声示宫颈形态部分或完 全消失饱满,呈不规则增大,可 探及实性低回声肿物, 边界欠清 晰,病灶内部回声不均匀,血流 信号丰富,血管多呈网状、树枝 样, 宫颈线受压变形中断或消 失, 部分病灶可见杂乱斑样强回 声;治疗后宫颈形态明显恢复, 肿块缩小,病灶减小或消失,宫 颈线连续可见, 部分肿瘤与周围 组织分界清楚,血流信号较前显 著减少,多呈点状,见图1-2。 治疗前CR组测得肿瘤最大长径为 (38.64±7.57)mm, 治疗后病灶完 全消失: PR组测得肿瘤最大长径 为(42.07±8.39)mm,治疗后肿物 最大长径为(23.94±6.31)mm, 明显低于治疗前(t=15.794, P < 0.01).

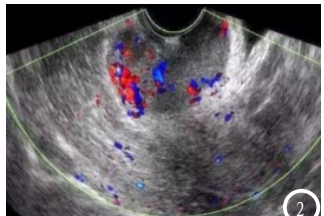
2.3 超声功能成像评价疗

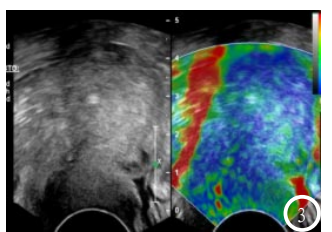
表1 两组患者治疗前后弹性应变比值对比(x ± s)

组别 例数 治疗前 治疗后1w 治疗后2w 治疗结束 CR组 26 4.71±1.34 3.57±0.93* 2.91±0.81* 2.09±0.56* PR组 15 4.89±1.42 4.06±1.05 3.63±0.92* 2.87±0.83* t 0.405 2.183 2.609 3.593 P 0.687 0.035 0.013 0.001		•				•
PR組 15 4.89 ± 1.42 4.06 ± 1.05 3.63 ± 0.92* 2.87 ± 0.83* t 0.405 2.183 2.609 3.593	组别	例数	治疗前	治疗后1w	治疗后2w	治疗结束
t 0. 405 2. 183 2. 609 3. 593	CR组	26	4. 71 ± 1. 34	3. 57 ± 0. 93*	2. 91 ± 0. 81*	2. 09 ± 0. 56*
	PR组	15	4.89 \pm 1.42	4. 06 ± 1.05	$3.63 \pm 0.92*$	$2.87 \pm 0.83*$
P 0. 687 0. 035 0. 013 0. 001	t		0.405	2.183	2.609	3. 593
	Р		0.687	0.035	0.013	0.001

注: 与治疗前比较, *P<0.05







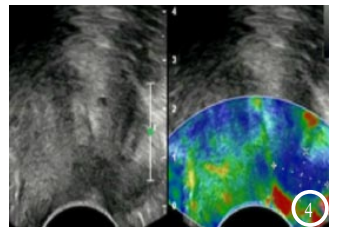


图1 宫颈癌常规超声(治疗前)。图2 宫颈癌常规超声(治疗后)。图3 宫颈癌超声功能成像(治疗前)。图4 宫颈癌超声功能成像(治疗后)。

治疗前CR组与PR组患者弹性 成像图像示病灶中央呈蓝色或以 蓝色为主的蓝绿色混杂, 病灶周 围多呈绿色,少数图像可将点状 红色:治疗后CR组患者弹性成像 图像示呈整体绿色, 未见红色或 蓝色区域, PR组患者可见病灶中 央以绿色为主, 部分可见局灶性 蓝色区域, 周围多见整体绿色图 像, 见图3-4。

2.4 弹性应变比值 治疗前 CR组与PR组患者弹性应变比值无 显著差异(P>0.05), 随着治疗 进程推进, 两组患者病灶弹性应 变比值均呈下降趋势, CR组治疗 后1w弹性应变比值与治疗前比较 明显下降,差异有统计学意义(P <0.05), PR组与治疗前比较无显 著差异,治疗后2w,PR组弹性应 变比值出现显著下降趋势,与治 疗前比较明显降低(P<0.05);两 组患者组间比较,从治疗后1w开 始, CR组弹性应变比值均低于PR 组, 差异显著(P<0.05), 具体见 表1。

3 讨 论

同步放化疗是采用放疗、化 疗方案同步进行以控制肿瘤细胞 修复率,提高放疗敏感性的一种 全新肿瘤治疗方案[5], 宫颈癌病 理类型以鳞癌为主,此前多项研 究表明化疗对宫颈癌的治疗效果 并不明显, 仅用于手术或放疗后 的辅助治疗, 但近年来新型化 疗药物的成功研发拓宽了化疗 对恶性肿瘤治疗的应用价值[6],

Kagabu等[7]研究发现新型化疗药 物具有明显的增敏效果, 在放疗 过程中同步予以一定剂量化疗药 物可降低不敏感乏氧细胞数量, 抑制放射损伤细胞修复过程,有 效清除局部肿瘤病灶,控制癌症 复发率及转移风险[8-9]。但相关研 究[10-11]表明采用同步放化疗的患 者发生血液学及胃肠道毒性反应 风险明显升高, 因此根据患者试 剂情况制定个体化方案, 在治疗 过程中及时评估疗效并调整放化 疗方案是宫颈癌治疗亟待解决的 难题。

超声功能成像是对待测组织 予以交变压力再采集目标组织变 形移位通过计算机软件分析并编 码成像,以不同颜色对组织硬度 变化进行直观反映的一种新兴技 术[12]。正常组织与不同病理组织 弹性应力差异明显, 宫颈组织主 要由平滑肌与纤维组织构成, 当 发生生理或病理改变时,组织硬 度可随之明显改变[13]。恶性病灶 硬度较大,弹性应力明显低于良 性组织, 进行同步放化疗患者敏 感病灶肿瘤细胞变性坏死, 血管 明显萎缩,癌肿间质组织胶原纤 维增生, 病灶硬度减小, 弹性应 力增高[14]。

本研究接受同步放化疗患 者中CR者占63.41%, PR者占 36.59%, 二维超声显示CR患者病 灶基本恢复正常, PR组患者肿瘤 体积较前显著减小, 部分宫颈形 态接近正常,肿瘤内部血管信号 密度明显减少。对患者进行持续 超声弹性功能成像结果显示CR患

者蓝色区域基本消失,治疗后图 像主要呈绿色, PR组患者蓝色区 域大范围缩小,治疗后图像主要 以绿色为主, 混杂少量蓝色区 域。接受治疗后1w弹性应变比值 即发生变化,呈明显降低趋势, 宫颈组织硬度逐渐恢复正常,而 PR患者在治疗后第2w弹性应变比 值才出现下降趋势, 该结果提示 肿瘤弹性应力及硬度与同步放化 疗效果关系密切,治疗1w后弹性 应变比值下降越明显, 放化疗效 果越好, 预后越佳, 反之弹性应 变比值越大,肿瘤恶性度越高, 放化疗抵抗越强,治疗效果越 差。放化疗可抑制肿瘤细胞增殖 分化过程,促进肿瘤细胞凋亡裂 解,细胞大量坏死,宫颈病灶组 织结构发生改变,逐渐恢复至正 常形态,组织顺应性增加,肿 瘤硬度减小,弹性应变比值下 降[15]。

磁共振对软组织诊断具有明 显优势,对深度肿瘤大小、形态 及浸润程度均可提供分辨率较高 的图像,但磁共振具有价格昂 贵、检查时间较长等特点,难以 用于同步放化疗早期长期监测。 超声弹性功能成像检查具有操作 简便、安全无创、价格低廉、重 复性高等特点,二维多普勒技术 可准确评估肿瘤大小、边界及浸 润范围,弹性功能成像模式可通 过对组织弹性应力进行定量分析 准确评估宫颈癌治疗效果。

参考文献

- [1] 张巍颖, 王康, 葛燕露, 等. 宫颈癌患者术后肛肠动力检查分析[J]. 罕少疾病杂志, 2016, 23(3): 15-16.
- [2] 张秋芳, 连鹏. 浸润性宫颈癌术前CT 及MRI诊断的临床价值研究[J]. 中国CT和MRI杂志, 2016, 14(4): 104-106.
- [3] 李井平, 陈东风, 王少春, 等. 经阴道 超高速剪切波弹性成像技术定量评价宫颈癌及癌前病变[J]. 中国医学影像技术, 2016, 32(11): 1706-1709.
- [4]赵亮,刘宏,乌丽娅提·赛都拉.实时剪切波弹性成像与彩色多普勒超声在宫颈癌鉴别诊断中的应用价值[J].中国肿瘤临床与康复,2018,25(1):36-38.
- [5] Celiesiute J, Gaurilcikas A, Gedgaudaite M, et al. Transvaginal ultrasound noninvasive method for the prediction of response to concurrent chemoradiotherapy in cases of cervical cancer[J]. Journal of Vibroengineering, 2017, 19(3): 2180-2187.
- [6] Csutak C, Badea R, Bolboaca S D, et al. Multimodal endocavitary ultrasound versus MRI and clinical findings

- in pre- and post-treatment advanced cervical cancer. Preliminary report [J]. Medical Ultrasonography, 2016, 18 (1): 75.
- [7] Kagabu M, Shoji T, Murakami K, et al. Clinical efficacy of nedaplatin-based concurrent chemoradiotherapy for uterine cervical cancer: a Tohoku Gynecologic Cancer Unit Study[J]. International Journal of Clinical Oncology, 2016, 21 (4): 1-6.
- [8] 汪军坚. 单纯放疗、新辅助化疗及同步放化疗治疗宫颈癌临床近期疗效比较[J]. 中华肿瘤防治杂志, 2016, 23(2): 246-247.
- [9]许涛,景红霞,李林均,等.介入栓塞 化疗联合HIFU治疗晚期宫颈癌同步 放化疗后局部复发的疗效观察[J]. 现代妇产科进展,2016,25(2):116-119.
- [10] 黄维, 李英, 鲁文力, 等. 宫颈癌同步放化疗时患者临床因素及骨盆剂量体积参数与急性期骨髓抑制的关系[J]. 第三军医大学学报, 2016, 38 (5): 506-510.
- [11]熊钢,周靖.复方苦参注射液对减轻宫颈癌同步放化疗毒副反应的临床观察[J].现代肿瘤医

- 学, 2016, 24(23): 3787-3790.
- [12] Briggs B N, Stender M E, Muljadi P M, et al. A Hertzian contact mechanics based formulation to improve ultrasound elastography assessment of uterine cervical tissue stiffness[J]. Journal of Biomechanics, 2015, 48 (9):1524-1532.
- [13]Oturina V, Hammer K, Mollers M, et al. Assessment of cervical elastography strain pattern and its association with preterm birth[J]. Journal of Perinatal Medicine, 2017, 45(8): 925-932.
- [14] 胡丽蓉, 冉海涛. 超声新技术在宫颈癌诊疗中的应用进展[J]. 临床超声医学杂志, 2014, 16(7): 472-474.
- [15] 蒋雪, 牛珂, 胡晓娟, 等. 常规腔内超声联合实时剪切波弹性成像评估宫颈癌放化疗疗效 [J]. 中国超声医学杂志, 2017, 33(7): 660-662.

(本文编辑:黎永滨)

【收稿日期】2018-08-18

(上接第 43 页)

- [9] 谢武桃. 16层螺旋CT多平面重组与MRCP诊断胆管梗阻性疾病的对比研究[J]. 重庆医学, 2012, 41(31): 3318-3320.
- [10] Meduri B, Derhy S, Dhumane P, et al. Extra-anatomical intraduodenal endoscopic-radiologic biliary rendezvous for treatment of iatrogenic complete stenosis of the common bile duct [J]. Endoscopy, 2015, 47 (S1): 565-566.
- [11] 李安琪, 王屹. I g G 4 相关性胆管 炎 C T 及 M R I 影 像 学 诊 断 与 鉴 别 诊 断 [J]. 中华消 化 外 科 杂 志, 2015, 14 (4): 344-348.
- [12] 陈枫,赵大伟,文硕,等.肝内肿块型胆管癌的CT、MRI动态增强表现以及与病理分化程度的关系[J].中华放射学杂志,2015,49(11):843-847.
- [13] Tefas C, Tantau M, Szenftleben A, et al. Villous adenoma of the common hepatic duct: the importance of contrastenhanced ultrasound and
- endoscopic retrograde cholangiopancreatography for relevant diagnosis. A case report and review of the literature[J]. Medical Ultrasonography, 2015, 17(4):232-233.
- [14] H. J. Park, S. H. Kim, K. M. Jang, 等. 扩散加权MRI鉴别良性与恶性胆管狭窄的方法 [J]. 国际医学放射学杂志, 2014, 18 (3): 249-252.

(本文编辑: 谢婷婷)

【收稿日期】2018-03-04